

بأن عدم حدوث تشابك وربط ديفتورجي جيد بين طبقات الطلاء والقاعدة الأساس.

الاستنتاجات

1. من خلال استقراء نتائج عملية الرش الحراري باستخدام تقنية انقوس الكبريتي لطلاء سبيكة البرونز القصوي على قواعده فولاذية متوسطة الكربون يمكن أن نستنتج ما يلي:
 1. إمكانية السيطرة على الخواص الميكانيكية والتركيبية لطبقات الطلاء الخارجة عن طريق السيطرة على سماكة الرش، حيث يمكن تحقيق وجود العمارة والعيوب السطحية في طبقات الطلاء من خلال اختيار سماكة الرش المناسبة.
 2. سماكة الرش بين مئتين الرش وقاعدة الإلوان هي من أهم العوامل التي يجب تحقيقها للسيطرة على النتيجة، حيث تؤدي زيادة سماكة الرش إلى نقصان كثافة وصلابة والتصلية لطلاء التلمية.
 3. تم الحصول على أقل قوة صلابة عند سماكة رش (15 cm)، أما أفضل قوة تلاحق هي (48.6 MPa) تم الحصول عليها عند سماكة رش (10 cm).

المصادر

1. M. Tanya & I. Godfrey, "Advance Engineering Material", Vol. 2, No. 3, 2000, P. 85.
2. J. H. Clare & D. P. Crawmer, "Thermal Spray Coating in Metals", Hand Book of Heat Treat. Vol. 5, Ohio, 1985.
3. C. Ryan, A. Matthews & K. C. Switz, "Surface and Coating Technology", Vol. 33, 1987, P. 165.
4. G. W. Stachowiak & A. W. Batchelor, "Engineering Tribology", 2nd Ed., 2001.
5. M. A. Meyers & K. K. Chawla, "Mechanical Behavior of Materials", 1999.
6. Annual Book ASTM Standards, American Society for Testing Material, U.S.A., 1989, C 850.
7. Annual Book ASTM Standards, American Society for Testing Material, U.S.A., 1988, C633.

جدول (1): معلمات عملية الرش الحراري.

تحسين نسب عناصر سبيكة الأساس	Cu 84.25, Sn 15.1, P 0.65 wt%
حجم جسيمات كبريتيد الكبريتون المستخدمة في العصفه تحيبي.	5.50 μm ± 2mm
كثافة طبقات تقاعد.	2-9 μm
ضغط هواء الرش.	0.4 MPa
ضغط هواء التغطية لطلاء الطلاء.	0.2 MPa
السرعة الانتقالية للملك غير ممتس الرش.	6 m/min
سماكة طبقة الطلاء الناتج.	1.45 mm

(XRD). كما تم استخدام المجهر الإلكتروني نوع (Universal Camera Microscope) لعرض فحص وتفاصيل طبقات الطلاء وتوضيح مسامك طبقات الطلاء وبنية تقريبية.

النتائج والمناقشة

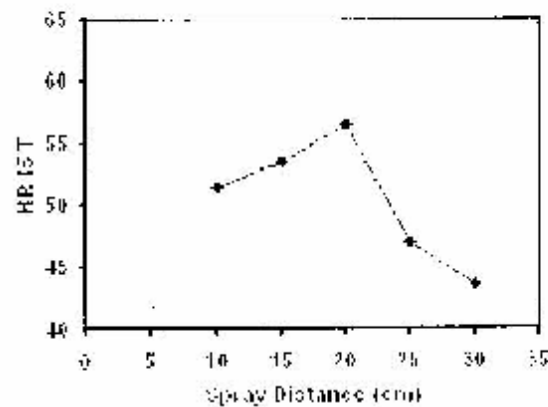
أجريت جميع عمليات طلاء تلمية بتقنيات عملية الرش الموضحة في جدول رقم (1)، الشكل (1) يوضح العلاقة بين سماكة الرش وتغير قيمة التماسك، من ملاحظ أن زيادة سماكة الرش تؤدي إلى زيادة مسامك الطلاء، مما يشير إلى انخفاض كثافة الرش إلى متوسط القصوي إلى حد ما، في الخواص والتوافق بين طبقات الطلاء، كما يرى ذلك من التغير التدريجي للتوافق قبل الانتهاء من عملية الطلاء، مما يدل على انخفاض التماسك بين الطبقات المتتالية. أما نتائج حسابات الكثافة لطبقات الطلاء (Bulk Density) فقد تبين عدم توافق انخفاض في كثافة طبقة الطلاء مع زيادة سماكة الرش كما هو موضح في الشكل (2)، من الملاحظ أن زيادة السماكة لطلاء تزيد من الصلابة مما يؤدي إلى انخفاض كثافة الطلاء بحوالي (10%) في المسافات البعيدة (35 cm).

أما نتائج حيود الأشعة السينية لطلاء الطلاء، كما هو موضح في الجدول (3) ووضحت من حدوث حالة تسييف (Castling) بين عناصر سبيكة الطلاء، حيث تم اكتشاف وجود البرونز، أليوم (Fe) وهو المتوافق، أحادي التماسك (Cu-Solid Solution) ويشير ذلك إلى أن التماسك بين الطبقات لا يتغير بصورة كبيرة مع طول الرش، وهو ناتج عن التماسك بين الرش (C/Si)، تم تغطية هذه الأطوار المتكونة من خلال مقارنة نتائج فحص المساحة السطحية بين العينات المجددة وكذلك المساحة السطحية لحالة مع الجداول التفاضلية لتسوية ملامح (Miller Indices).

كما يتضح من نتائج المساحة السطحية لاختبار صلابة الطلاء المتأخر، يمكن ملاحظة أنها من الشكل (3) الذي يوضح تأثير المسافة بين مصدر الرش والقاعدة لطلاء على قيمة الصلابة لطلاء الطلاء المنتجة بالرش الحراري.

كما لوحظ أن زيادة المسافة الرش تؤدي إلى انخفاض قيمة الصلابة وذلك بسبب ضغط قوة التماسك وانخفاض كثافة العيوب السطحية من مسامية والتماسك طبقات الطلاء، أما دراسة نتائج قوة التماسك لطلاء الطلاء، والتي هي عبارة عن القوة اللازمة لتفكيك وحدة مساحة من طبقة الطلاء للبرونز القصوي عن قاعدة الأساس، فيمكن ملاحظة أن الجدول (2) أنه بتغير سماكة الرش

لقد لوحظ أن قوة التماسك تكون عالية عند المسافة القريبة (10cm) بسبب وصول الفطرات المعدنية إلى السطح الأساس بدرجة حرارية عالية، مما يؤدي إلى تسييف الأساس، حيث يتسبب في ذلك حوسن السطح، نشأ عن القاعدة الأساس، وتتحرك في الجيوب خشونة سطح الأساس مكونة مناطق أحجام دقيقة يتخللها التماسك وتتراكم جزئياً بين التماسك المتغيرة كليا و سطح قاعدة الأساس في المسافات القريبة، أما عند زيادة مسافة الرش فيلاحظ تنقص قوة التماسك والتماسك وحدث ذلك نتيجة زيادة سماكة الطلاء عند المسافات البعيدة وناتج عن نقصان سماكة الطبقة المتبقية الرش ودرجة حرارتها مع انخفاض كثافة العيوب، كما لوحظ



شكل (5) تأثير مسافة الرش على قيمة الصلابة لطبقات الطلاء (نتيجة).

Abstract

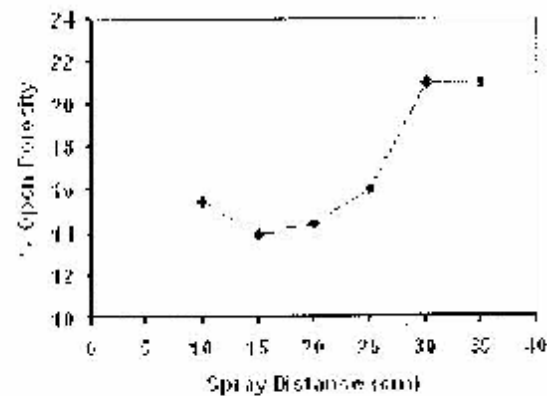
The spraying process has been applied by spraying of phosphor bronze wire (Cu-Sn-P) on a mild steel substrate. The effect of spraying parameters on coating properties have been studied and it shows considerably affect on the microstructure features and other properties such as hardness, porosity and the adhesion strength the experimental result had assured that the best properties of layer coating were found at the optimum condition when the distance of spraying was (15 cm) increasing the spraying distance would give high porosity therefore, density, hardness, and adhesion are reduced clearly. The X-ray diffraction data proved existing of different phases after the process of spraying.

جدول (2): تأثير مسافة الرش على قوة التماسك لطبقات الطلاء

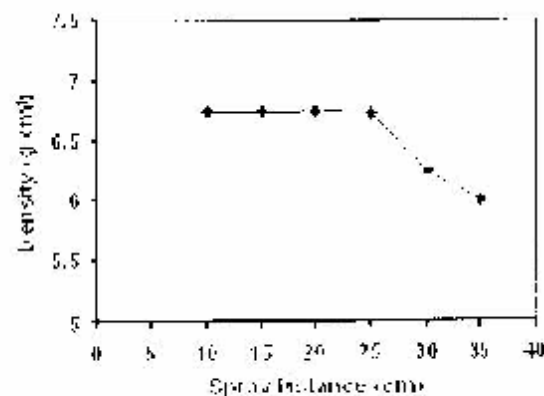
مسافة الرش (cm)	قوة التماسك (MPa)
10	78.6
15	33
20	37
30	25.4

جدول (3) نتائج تحليل حيود الأشعة السينية لطبقة الطلاء.

2θ (degree)	d. calc nm	d. stand nm	Phase	Relative Intensity
42.4	0.213	0.213	α	9.0
43.8	0.210	0.210	α	6.10
49.0	0.186	0.186	α	7.0
50.2	0.182	0.18	α	9.05
73.9	0.128	0.128	α	9.05
77.7	0.124	0.122	α	7.0



شكل (1) العلاقة بين مسافة الرش ونسبة المسامية المتواجدة في طبقات الطلاء.



شكل (2) العلاقة بين مسافة الرش وكثافة طبقات الطلاء